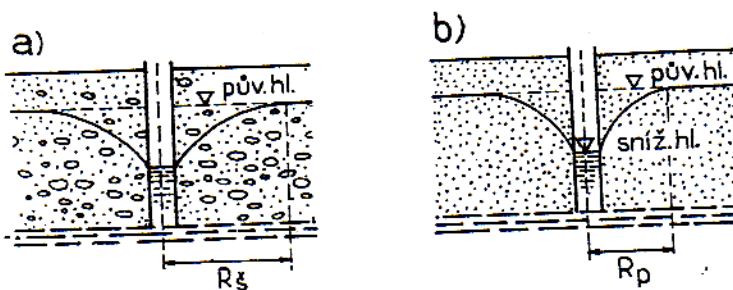
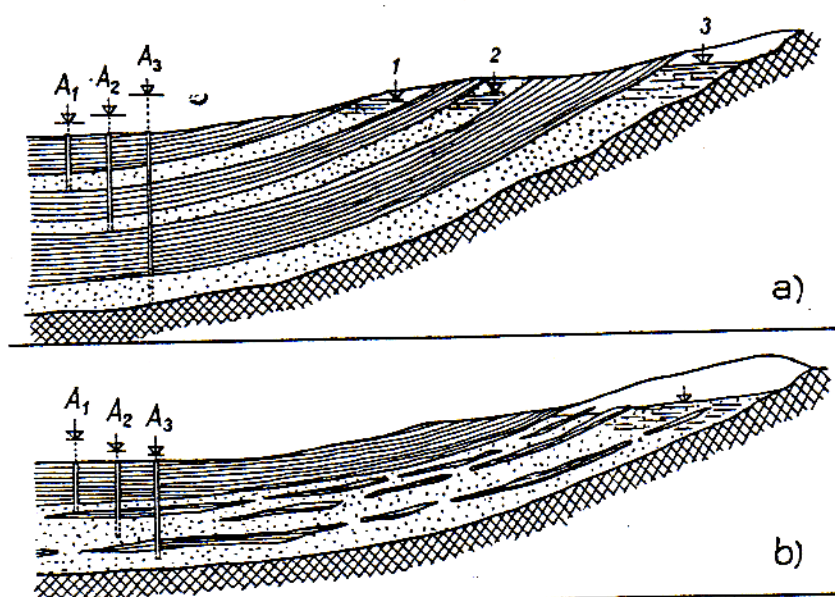


Obr. 162. Pronikání podzemní vody od povrchu do hloubky (podle O. Meinzera)

P — provzdušnělé pásma s půdní (p) a mezilehlou (m) vodou;  
Z — zvodněné pásma s kapilární vodou (k)

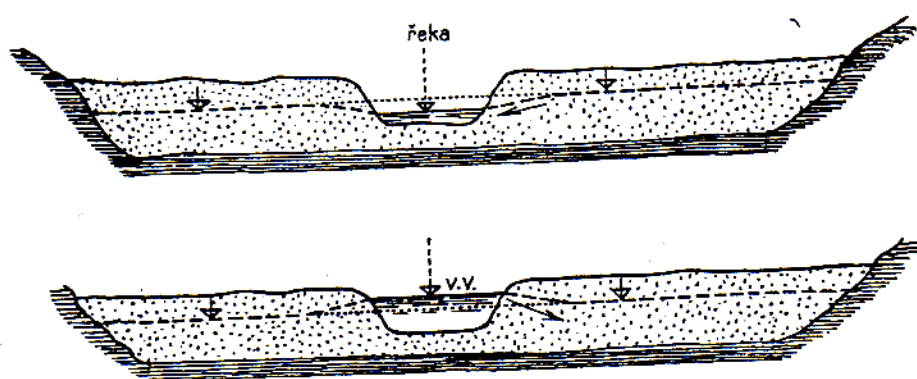


Obr. 163. Depresní kužel a) ve štěrcích je plochý ( $R_s$ ), b) v hlinitém písce má tvar strmější ( $R_p$ )

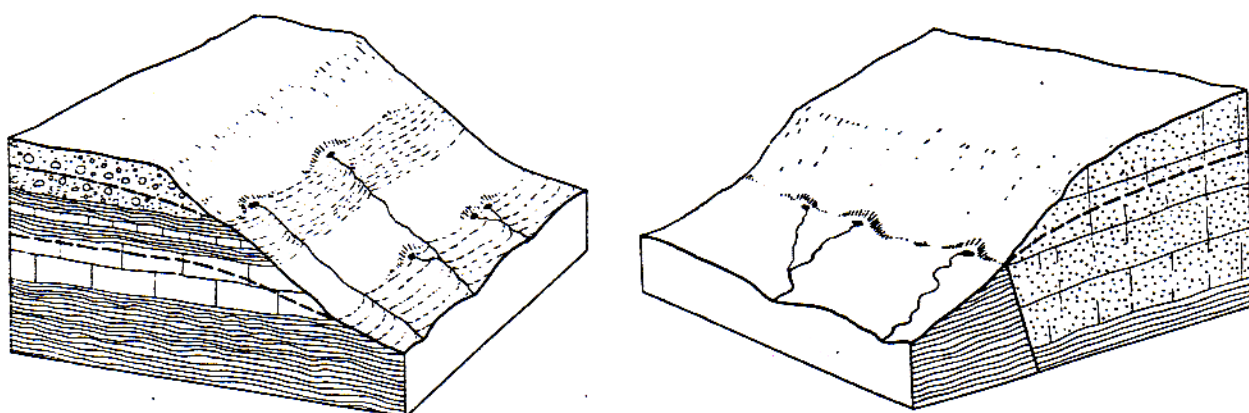


Obr. 164. Schematické znázornění artéských obzorů (podle O. Hynie)

a) tři samostatné obzory 1, 2, 3; b) obzory vytvořené nesouvislými čočkovitými polohami nepropustných hornin v jediné mocnější vrstvě propustných hornin;  $A_1$ ,  $A_2$ ,  $A_3$  — studny sahající do jednotlivých artéských obzorů, značka při nich ukazuje výstupnou výšku artéské vody

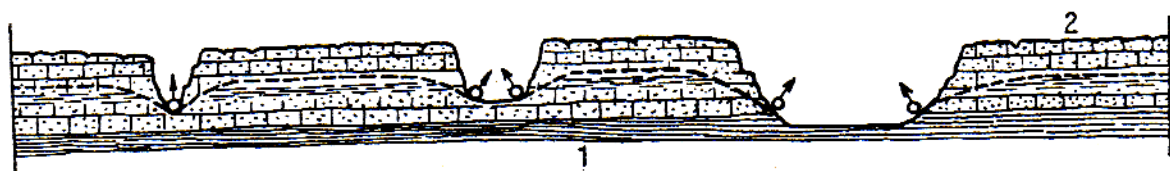


Obr. 166. Schematické znázornění kolísání hladiny poříční vody podle stavu vody v řece



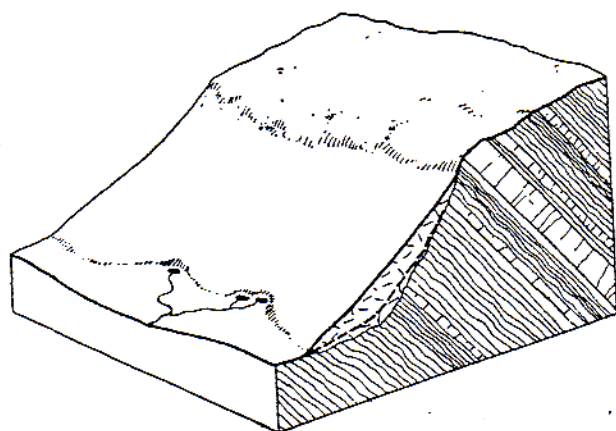
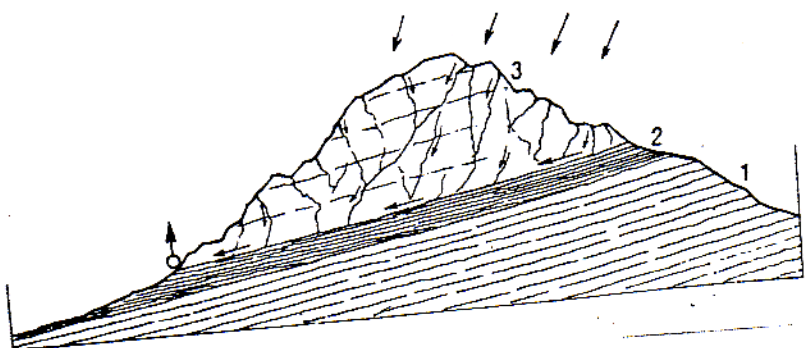
Obr. 167. Blokdiagram znázorňující vznik vrstevních pramenů ve dvou pramenných liniích vyvinutých na výchozech styku propustných a nepropustných hornin (podle A. Desia)

Obr. 168. Blokdiagram ukazující vznik přetékajících pramenů vyvěrajících v pramenné linii vyvinuté na výchoze zlomu (podle A. Desia)



Obr. 169. Vznik roklínových a údolních pramenů (podle R. Kettnera)  
1 — nepropustné horniny, 2 — propustné horniny; čárkovaně — průběh hladiny podzemní vody

Obr. 170. Schéma vrstevního sestupujícího pramene (podle R. Kettnera)  
1, 2 — vrstvy nepropustných hornin; 3 — propustné rozpukané horniny



Obr. 171. Blokdiagram ukazující vznik suťových pramenů (podle A. Desia)